

С С С Р

РУКОВОДЯЩИЙ ДОКУМЕНТ

УПЛОТНЕНИЯ НЕПОДВИЖНЫЕ МЕТАЛЛИЧЕСКИЕ ДЛЯ СОСУДОВ
И АППАРАТОВ НА ДАВЛЕНИЕ СВЫШЕ 10 ДО 100 МПа
(СВЫШЕ 100 ДО 1000 КГС/СМ²).

Методика расчета на прочность и плотность

РД 26-01- 468 -88

Издание официальное

СОГЛАСОВАНО

Заместитель начальника
Управления оборудования
Министерства по производству
минеральных удобрений

В.М.Прокофьев

09.06
1988 г.

УТВЕРЖДАЮ

Директор УкрНИИхимаша

П.П.Прядкин
15.06 1988 г.

Л И С Т У Т В Е Р Е Д Е Н И Я

УПЛОТНЕНИЯ НЕПОДВИЖНЫЕ МЕТАЛЛИЧЕСКИЕ ДЛЯ СОСУДОВ И
АППАРАТОВ НА ДАВЛЕНИЕ СВЫШЕ 10 ДО 100 МПа (СВЫШЕ 100
ДО 1000 КГС/СМ²).

Методика расчета на прочность и жесткость.

РД.26-Д1-168-88

Директор ИркутскНИИхимката

Смирнов

Е.Р.Хисматуллин

Заместитель директора
по научной работе

Лившиц

В.И.Лившиц

Заведующий отделом
стандартизации

Степанов

В.И.Королев

Руководитель темы, заведующий
отделом прочности

Древин

А.К.Древин

Заведующий лабораторией

Погодин

В.К.Погодин

Научный сотрудник

Вирик

В.П.Вирик

Старший научный сотрудник

Золотенин

Р.Г.Золотенин

СОГЛАСОВАНО

Заведующий базовым отделом
стандартизации УкрНИИхиммаша

В.В.Проголаев

см. на обороте

СОГЛАСОВАНО

Заместитель директора по научной работе
НИИХИМПА

зар. В.В.Грязнов

08.06.88.

СОГЛАСОВАНО

Главный инженер ПО "Уралхиммаш"

Н.К.Глобин

25.04.88

СОГЛАСОВАНО

Главный механик ГИАПа

Б.М.Гусев

09.06.88

СОГЛАСОВАНО

Заместитель председателя

Госгортехнадзора СССР

Зубенко В.М.

№ И5-И5/27/Г73 от 17.06.88.

СОДЕРЖАНИЕ

1. Общие положения	2
2. Методика расчета на прочность и плотность . . .	5
2.1. Уплотнение с двухконусным кольцом	5
2.2. Уплотнение с кольцом треугольного сечения . .	11
2.3. Уплотнение с кольцом восьмиугольного сечения	15
2.4. Уплотнение с плоской прокладкой	20
Приложение I Условные обозначения	
Приложение 2 Расчетные характеристики материалов уплотнительных колец при повышенных температурах	30
Приложение 3 Расчетные характеристики материалов крышки и фланца корпуса при повышенных температурах	32
Приложение 4 Средние коэффициенты линейного расширения $\mathcal{L} \cdot 10^6$ л/град	33
Приложение 5 Модуль упругости материалов при повышенных температурах	34
Информационные данные	35

УДК

Группа Г02

РУКОВОДЯЩИЙ ДОКУМЕНТ

УПЛОТНЕНИЯ НЕПОДВИЖНЫЕ
МЕТАЛЛИЧЕСКИЕ ДЛЯ СОСУДОВ И
АППАРАТОВ НА ДАВЛЕНИЕ СВЫШЕ
10 ДО 100 МПа (СВЫШЕ 100 ДО
1000 КГС/СМ²)

РД 26-01-168-88

Методика расчета на прочность
и плотность
ОКСТУ 3603

Дата введения 01.01.89

Настоящий руководящий документ распространяется на уплотнения неподвижные металлические с кольцами двухконусного, треугольного, восьмиугольного сечений и с плоской прокладкой для сосудов и аппаратов с диаметрами уплотнения 200-3200мм, работающих при статическом и малоциклическом нагружениях внутренним давлением выше 10 до 100МПа (свыше 100 до 1000 кгс/см²) и расчетной температуре стенки от минус 40°C до 420°C. Уплотнения с двухконусными кольцами и кольцами треугольного сечения сосудов и аппаратов изготавливаемых в соответствии с ОСТ 26-01-221-86, допускается рассчитывать по данному руководящему документу, при нагружении внутренним давлением до 130 МПа.

Руководящий документ устанавливает методику расчета на прочность и плотность уплотнений сосудов и аппаратов высокого давления, рассчитанных в соответствии с ОСТ 26-1046-87, отвечающих требованиям ОСТ 26-01-9-80, ОСТ 26-01-221-86 и работа-

Издание официальное

Перепечатка воспрещена

ющих в химической, нефтехимической промышленности, производстве минеральных удобрений и других смежных отраслях промышленности.

Руководящий документ должен применяться совместно с ОСТ 26-01-86-88

На уплотнения сосудов и аппаратов, спроектированные до 01.01.89г. в соответствии с ОСТ 26-01-87-78 и изготовленные до 01.01.90г. требования настоящего руководящего документа не распространяются.

I. ОБЩИЕ ПОЛОЖЕНИЯ

I.1. В настоящем руководящем документе в качестве уплотнения рассматривается разъемное соединение, состоящее из уплотнительного кольца (прокладки) и элементов уплотнения в крышки и корпусе, обеспечивающих необходимое взаимное расположение данных деталей после сборки и в процессе эксплуатации сосуда или аппарата высокого давления.

I.2. В руководящем документе приведены:

1) расчеты на прочность (определение осевых усилий, действующих на шпильки от расчетного давления с учетом тепловых воздействий при стационарных режимах, пробного давления и технологического давления опрессовки);

2) расчеты геометрических размеров уплотнительных колец и прокладок;

3) расчеты на плотность (определение усилий в шпильках после затяжки, обеспечивающих герметизацию уплотнения).

I.3. Условные обозначения расчетных величин приведены в приложении I.

I.4. Определение величин рабочего и расчетного давлений,

расчетной температуры следует производить в соответствии с ГОСТ 14249-80.

Величину пробного давления следует назначать в соответствии с Правилами Госгортехнадзора и ГОСТ 11879-81.

Величина давления опрессовки и метод проведения гидравлического испытания по ОСТ 26-01-221-86, раздел 7.

I.5. Расчет геометрических размеров уплотнительных колец (прокладок) и элементов уплотнений следует производить в следующих случаях:

1) для уплотнения с двухконусным кольцом из материалов с пределом текучести $\sigma_t^{20} < 350 \text{ МПа (3500 кгс/см}^2\text{)};$

2) для уплотнения с кольцом восьмиугольного сечения из материалов с пределом текучести $\sigma_t^{20} < 230 \text{ МПа (2300 кгс/см}^2\text{)};$

3) для уплотнения с плоской прокладкой – в любом случае.

Во всех остальных случаях выбор геометрических размеров уплотнительных колец, осевых размеров прокладок и элементов уплотнений следует производить в соответствии с ОСТ 26-01-86-88.

I.6. Влияние тепловых воздействий на усилия, возникающие в шпильках, необходимо учитывать в следующих случаях:

1) для уплотнения с плоской прокладкой при расчетной температуре $t > 200^\circ\text{C};$

2) для остальных типов уплотнений при расчетной температуре $t > 300^\circ\text{C};$

3) когда разность между величинами коэффициентов линейного расширения материалов элементов уплотнения и шпилек составляет более $2,5 \cdot 10^{-6} \text{ 1/град}$ при расчетной температуре $t > 100^\circ\text{C}.$

Например: для уплотнений с кольцами двухконусного, треугольного и восьмиугольного сечений, выполненных из austenитных сталей.

I.7. Среднюю величину температуры деталей уплотнения для стационарных режимов работы следует определять на основании тепловых расчетов, результатов замера фактических температур на сосудах и аппаратах, аналогичных проектируемым, а также результатов экспериментов. В случае отсутствия таких данных следует принимать:

I) для сосудов и аппаратов, крышка и фланец корпуса которых не теплоизолированы с наружной поверхности и расположенных в закрытых блоках.

$$\begin{aligned} t_{\phi} &= t_k = 0,83 t ; \\ t_{шп} &= 0,8 t ; \\ t_{шк} &= t . \end{aligned}$$

2) для сосудов и аппаратов, крышка и фланец корпуса которых теплоизолированы с наружной поверхности

$$t_{\phi} = t_k = t_{шп} = t_{шк} = t$$

I.8. Механические и физико-механические характеристики материалов элементов уплотнений для расчетных температур приведены в приложениях 2-5.

Величины механических характеристик материалов для промежуточных значений температур определяются методом интерполяции.

2. МЕТОДИКА РАСЧЕТА НА ПРОЧНОСТЬ И ПЛОТНОСТЬ

2.1. Уплотнение с двухконусным кольцом

2.1.1. Конструкция уплотнения представлена на черт. I.

2.1.2. Расчетное усилие действующее на шпильки, вычисляют по формуле

$$Q = Q_g + Q_t + Q_e . \quad (I)$$

2.1.3. Равнодействующую внутреннего давления среды на крышку вычисляют по формуле

$$Q_g = \frac{\pi}{4 \cdot k_1} \cdot D_{\varphi}^2 \cdot P , \quad (2)$$

где $k_1 = 10^6 (10^2)$

2.1.4. Средний диаметр уплотнительного соединения вычисляют по формуле

$$D_{\varphi} = D_o + 2b - \frac{h_1 - h_2}{2} \cdot \operatorname{tg} \gamma , \quad (3)$$

где $\gamma = 30^\circ$

2.1.5. Осевую составляющую равнодействующей внутреннего давления среды на уплотнительное кольцо вычисляют по формуле

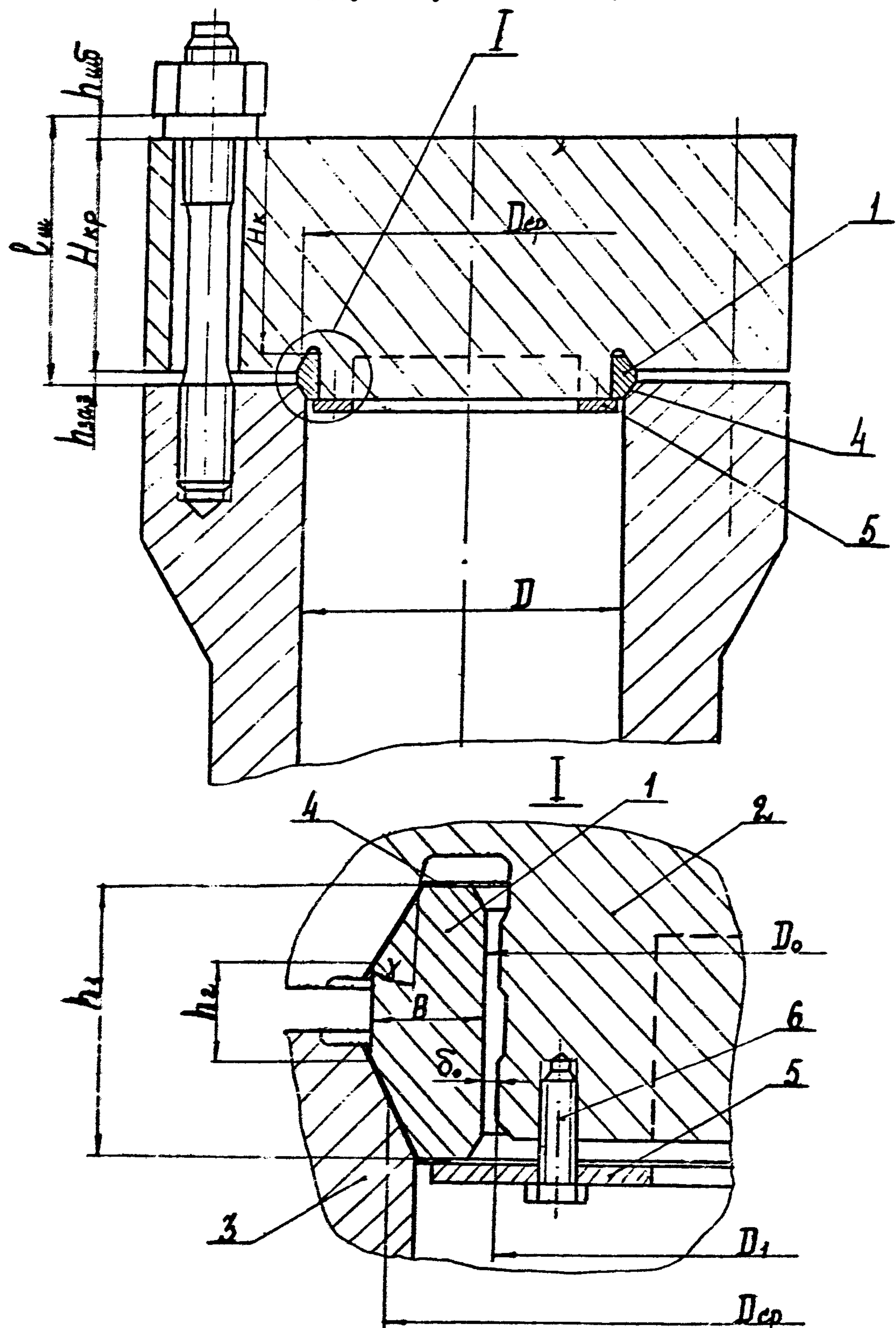
$$Q_t = \frac{\pi}{2} \cdot \frac{k_2}{k_1} \cdot D_{\varphi} \cdot h_{\varphi} \cdot t \operatorname{tg} \gamma , \quad (4)$$

где $k_2 = \max \begin{cases} p; & \text{МПа (кгс/см}^2\text{)} \\ 40 & \text{МПа (400 кгс/см}^2\text{)} \end{cases}$

2.1.6. Высоту уплотнительного кольца по средней линии уплотнительных поверхностей вычисляют по формуле

$$h_{\varphi} = \frac{h_1 + h_2}{2} . \quad (5)$$

Уплотнение с двухконусным кольцом



1 - уплотнительное кольцо; 2 - элемент уплотнения крышки;
3 - элемент уплотнения корпуса; 4 - прокладка; 5 - прижимное
кольцо; 6 - болт

Примечание. Уплотнение изображено в незатянутом состоянии.

Черт. I.

2.1.7. Осевую нагрузку, действующую на шпильки от неравномерности нагрева элементов уплотнения, а также различия величин коэффициентов линейного расширения его сопрягаемых деталей, вычисляют по формуле

$$Q_t = \frac{\Delta_{\Sigma}}{\lambda_{\Sigma}} . \quad (6)$$

Величину Q_t учитывают в формуле (I) при условии $Q_t > 0$. Если величина $Q_t < 0$ то при $|Q_t| \leq 0,1 Q_t$ она не учитывается в формуле (I).

В любом случае ($Q_t > 0$ или $Q_t < 0$) при $|Q_t| > 0,1 Q_t$ необходимо принять другие сочетания материалов деталей уплотнения или изменить их геометрические размеры и тепловой режим работы уплотнения.

2.1.8. Суммарное осевое температурное перемещение деталей уплотнения в зоне контакта вычисляют по формуле

$$\begin{aligned} \Delta_2 = & L_{yK} \cdot t_{yK} \cdot \left(h_{\varphi} + \frac{D_{cp}}{2 \operatorname{tg} \gamma} \right) + L_K \cdot t_K \left(H_K - \frac{D_{cp}}{2 \operatorname{tg} \gamma} \right) + \\ & + L_{ab} \cdot t_{ab} \cdot h_{ab} - L_{\varphi} \cdot t_{\varphi} \cdot \frac{D_{cp}}{2 \operatorname{tg} \gamma} - L_{ui} \cdot t_{ui} \cdot l_{ui} \end{aligned} \quad (7)$$

Величины коэффициентов линейного расширения L_{yK} , L_K , L_{ab} , L_{φ} , L_{ui} для соответствующих материалов приведены в приложении 4

2.1.9. Расчетную длину шпильки вычисляют по формуле

$$l_{ui} = h_{303} + H_{kp} + h_{ab} \quad (8)$$

Величину зазора h_{303} определяют конструктивно с учетом размеров элементов уплотнения в соответствии с ОСТ 26-01-86-88.

Толщину крышки H_{kp} определяют в соответствии с СТ СЭВ 5206-85, высоту шайбы h_{sh} определяют в соответствии с ОСТ 26-01-141-81.

Толщину крышки H_k на диаметре D_{ep} вычисляют по формуле

$$H_k = H_{kp} - H_4 - \frac{D_{ep} - D_2}{2 \cdot \operatorname{tg} \gamma} \quad (9)$$

Размеры уплотнительного элемента крышки H_4 , D_2 определяют согласно ОСТ 26-01-86-88.

2.1.10. Суммарный коэффициент осевой податливости уплотнения вычисляют по формуле

$$\lambda_{\Sigma} = \lambda_{uk} + \lambda_{\varphi} + \lambda_k + \lambda_{us} + \lambda_{sh} \quad (10)$$

2.1.11. Коэффициент осевой податливости уплотнительного кольца вычисляют по формуле.

$$\lambda_{uk} = \frac{0,825 \cdot K_1 \cdot D_o \cdot (D_o + 2b)}{b \cdot h_{\varphi} \cdot E_{uk}^{\frac{1}{2}} \cdot (D_o + b)} \quad (II)$$

2.1.12. Величины коэффициентов осевой податливости фланца λ_{φ} и крышки λ_k определяют расчетным путем или экспериментально с учетом конкретного конструктивного оформления фланца и крышки.

Допускается при упрощенных расчетах принимать в формуле (10) величины коэффициентов $\lambda_{\varphi} = \lambda_k = 0$

2.1.13. Коэффициент осевой податливости шпилек вычисляют по формуле

$$\lambda_{us} = \frac{4 \cdot K_1 \cdot (l_{us} + d_{us})}{\pi \cdot Z \cdot E_{us}^{\frac{1}{2}} \cdot d_{us}^2}, \quad (12)$$

где диаметр резьбы шпилек d_{us} принимают в соответствии с ГОСТ 26303-84, ОСТ 26-01-139-81.

2.1.14. Коэффициент осевой податливости шайб вычисляют по формуле

$$\lambda_{шб} = \frac{K_1 \cdot h_{шб}}{\varepsilon \cdot E_{шб}^2 \cdot F_{шб}} , \quad (I3)$$

где площадь поперечного сечения шайбы $F_{шб}$ принимают в соответствии с ОСТ 26-01-141-81.

2.1.15. При пробном гидравлическом давлении P_{np} усилие, действующее на шпильки Q_{np} вычисляют по формуле (I), при этом в расчетные формулы (2) и (4) подставляют значение P_{np} вместо P , а Q_t принимают равным нулю.

2.1.16. При технологической опрессовке сосуда или аппарата давлением P_{tex} , усилие, действующее на шпильки Q_{tex} , вычисляют по формуле (I), при этом в расчетные формулы (2) и (4) подставляют значение P_{tex} вместо P и Q_t принимают равным нулю.

2.1.17. При выполнении уплотнительного кольца из материала с пределом текучести $\sigma_t^{20} < 350 \text{ МПа (3500 кгс/см}^2\text{)}$ рассчитывают его диаметральные размеры.

Осевые размеры элементов уплотнения для соответствующего диаметра принимают по ОСТ 26-01-26-88.

2.1.18. Толщину уплотнительного кольца вычисляют по формуле

$$b = \frac{(0,63 \cdot D_{dp} + a)(h_1 - h_2)}{6,92 \cdot D_{dp} \cdot h_1} \left[2,42 \cdot \frac{\sigma_{t,cr}^{20}}{\sigma_t^{20}} \cdot D_{dp} + (h_1 - h_2) \right], \quad (I4)$$

где $a = 160 \text{ мм.}$

2.1.19. Напряжение смятия ^{пронежимочной} прокладки в зависимости от ее материала принимают:

1) для алюминия $\sigma_{t,cr}^{20} = 70 \text{ МПа (700 кгс/см}^2\text{);}$

2) для меди $\sigma_{t,cr}^{20} = 100 \text{ МПа (1000 кгс/см}^2\text{).}$

2.1.20. Средний диаметр уплотнения вычисляют по формуле

$$D_{\varphi} = D' + \frac{h_1 - h_2}{2} \cdot \operatorname{tg} \gamma, \quad (I5)$$

где $D' \geq D + c$. (I6)

Величина c выбирается из табл. 1

Таблица 1

<i>мм</i>	
<i>D</i>	<i>c</i>
От 200 до 300 включ.	2
Св. 300 " 600 "	3
" 600 " 1200 "	4
" 1200 " 1800 "	5
" 1800 " 2400 "	6
" 2400 " 2800 "	7
" 2800 " 3200 "	8

2.1.21. Внутренний диаметр уплотнительного кольца вычисляют по формуле

$$D_o = D' + (h_1 - h_2) \cdot \operatorname{tg} \gamma - 2b \quad (I7)$$

2.1.22. Диаметр упора на крышке вычисляют по формуле

$$D_i = D_o - 2 \delta_o \quad (I8)$$

2.1.23. Радиальный зазор между уплотнительным кольцом и упором на крышке вычисляют по формуле

$$\tilde{\delta}_o = \frac{D_o \cdot \sigma_{T_{yK}}^t}{2,2 \cdot E_{yK}^t} \quad (I9)$$

2.1.24. Усилие в шпильках после их затяжки перед гидравлическим испытанием технологическим давлением опрессовки

P_{tex} , пробным давлением P_{pr} и перед эксплуатацией в рабочих условиях вычисляют по формуле

$$Q_{3\text{ та}} = Q_{3\text{ пр}} = Q_3 = \frac{\sigma_{cm}^{20} \cdot \pi \cdot D_{cr} \cdot l_p \cdot \sin(\gamma + \rho)}{K_t \cdot \cos \rho} \quad (20)$$

2.1.25. Расчетную ширину уплотнительной поверхности вычисляют по формуле

$$l_p = \frac{h_1 - h_2}{2 \cdot \cos \gamma} \quad (21)$$

2.1.26. Угол трения на уплотнительных поверхностях принимают $\gamma = 15^\circ$.

2.2. Уплотнение с кольцом треугольного сечения

2.2.1. Конструкция уплотнения представлена на черт. 2.

2.2.2. Расчетное усилие Q , действующее на шпильки, вычисляют по формуле (I).

2.2.3. Равнодействующую внутреннего давления среды на крышку вычисляют по формуле

$$Q_g = \frac{\pi}{4 \cdot K_t} \cdot D_k^2 \cdot P \quad (22)$$

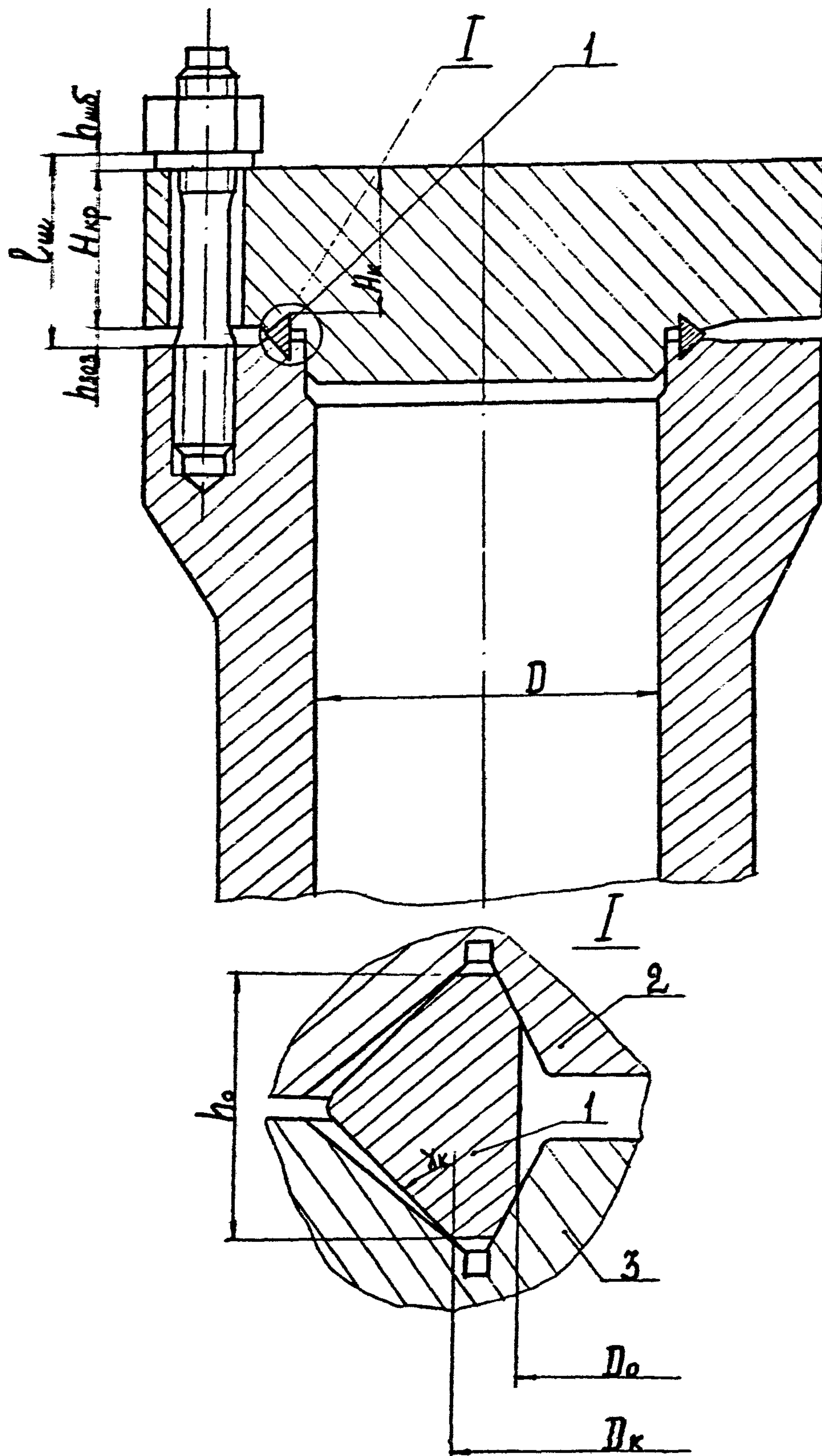
2.2.4. Осевую составляющую равнодействующей внутреннего давления среды на уплотнительное кольцо вычисляют по формуле

$$Q_i = \frac{\pi}{2 \cdot K_t} \cdot D_k \cdot h_o \cdot P \cdot \operatorname{tg} \gamma_k, \quad (23)$$

где

$$\gamma_k = 47^\circ.$$

Уплотнение с кольцом треугольного сечения



1 - уплотнительное кольцо; 2 - элемент уплотнения крышки;
3 - элемент уплотнения корпуса.

2.2.5. Осевую нагрузку действующую на шпильки от неравномерности нагрева элементов уплотнения, а также различия величин коэффициентов линейного расширения сопрягаемых деталей Q_t вычисляют по формуле (6) и учитывают в соответствии с условиями п. 2.1.7.

2.2.6. Суммарное осевое температурное перемещение в зоне контакта вычисляют по формуле

$$\Delta_{\Sigma} = \lambda_{yk} \cdot t_{yk} \cdot \left(h_0 + \frac{D_0}{2 \cdot \operatorname{tg} \gamma_k} \right) + \lambda_k \cdot t_k \cdot \left(H_k - \frac{D_k}{2 \cdot \operatorname{tg} \gamma_k} \right) + \quad (24)$$

$$+ \lambda_{ab} \cdot t_{ab} \cdot h_{ab} - \lambda_f \cdot t_f \cdot \frac{D_k}{2 \cdot \operatorname{tg} \gamma_k} - \lambda_u \cdot t_u \cdot l_u$$

Величины коэффициентов линейного расширения λ_{yk} , λ_k , λ_{ab} , λ_f , λ_u для соответствующих материалов, приведены в приложении 4.

2.2.7. Размер H_k вычисляют по формуле

$$H_k = H_{kp} - \frac{h_0 - h_{zaz}}{2} \quad (25)$$

Толщину крышки H_{kp} определяют в соответствии с СТ СЭВ 5206-85.

Размеры h_c , D_c , D_k определяют в соответствии с ОСТ 26-01-86-88.

Величину зазора h_{zaz} и осевые размеры l_u и h_{ab} определяют согласно п. 2.1.9.

2.2.8. Суммарный коэффициент осевой податливости λ_{Σ} вычисляют по формуле (10).

2.2.9. Коэффициент осевой податливости уплотнительного кольца вычисляют по формуле

$$\lambda_{yk} = \frac{0,83 \cdot K_1 \cdot \beta}{E_{yk}^t \cdot h_0 \cdot (\beta^2 - 1)} , \quad (26)$$

где $\beta = \frac{D_k + 0,5 h_0}{D_0}$.

2.2.I0. Коэффициенты осевой податливости фланца λ_{ϕ} , крышки λ_K , шпилек λ_u , шайб λ_{ub} определяют в соответствии с п.п.2.1.12., 2.1.13, 2.1.14.

2.2.II. При пробном гидравлическом давлении P_{np} усилие, действующее на шпильки Q_{np} вычисляют по формуле (I), при этом в расчетные формулы (22) и (23) подставляют значение P_{np} вместо P и Q_t принимают равным нулю.

2.2.I2. При технологической опрессовке сосуда или аппарата давлением P_{tex} усилие, действующее на шпильки Q_{tex} вычисляют по формуле (I), при этом в расчетные формулы (22), (23) подставляют значение P_{tex} вместо P и Q_t принимают равным нулю.

2.2.I3. Усилие в шпильках после их затяжки перед гидравлическим испытанием пробным давлением P_{np} , технологическим давлением опрессовки P_{tex} и перед эксплуатацией в рабочих условиях вычисляют по формуле

$$Q_{3np} = Q_{3tex} - Q_3 = \frac{S \cdot D_k}{K_3} \cdot q_3 , \quad (27)$$

где $q_3 = 0,6 \frac{MH}{M}$ (600 кгс/см) – герметизирующее усилие затяжки на единицу длины окружности контакта;

$$K_3 = 10^3 (10) .$$

2.3. Уплотнение с кольцом восьмиугольного сечения

2.3.1. Конструкция уплотнения представлена на черт.3.

2.3.2. Расчетное усилие, действующее на шпильки, вычисляют по формуле

$$Q = Q_g + R_i + Q_t \quad (28)$$

2.3.3. Равнодействующую внутреннего давления среды на кривику Q_g вычисляют по формуле (2).

2.3.4. Осевую составляющую реакции уплотнительного кольца вычисляют по формуле

$$R_i = K \cdot D_f \cdot \sigma_{cm,uk}^{20} \cdot l_p \cdot \frac{\sin(\gamma + \rho)}{K_i \cdot \cos \rho}, \quad (29)$$

где $\gamma = 23^\circ$.

Угол трения на уплотнительных поверхностях принимает $\rho = 11^\circ 20$.

2.3.5. Герметизирующее напряжение смятия уплотнительного кольца для условий эксплуатации принимают

$$\sigma_{cm,uk}^{20} = 12 \cdot \sigma_{t,uk}^{20}. \quad (30)$$

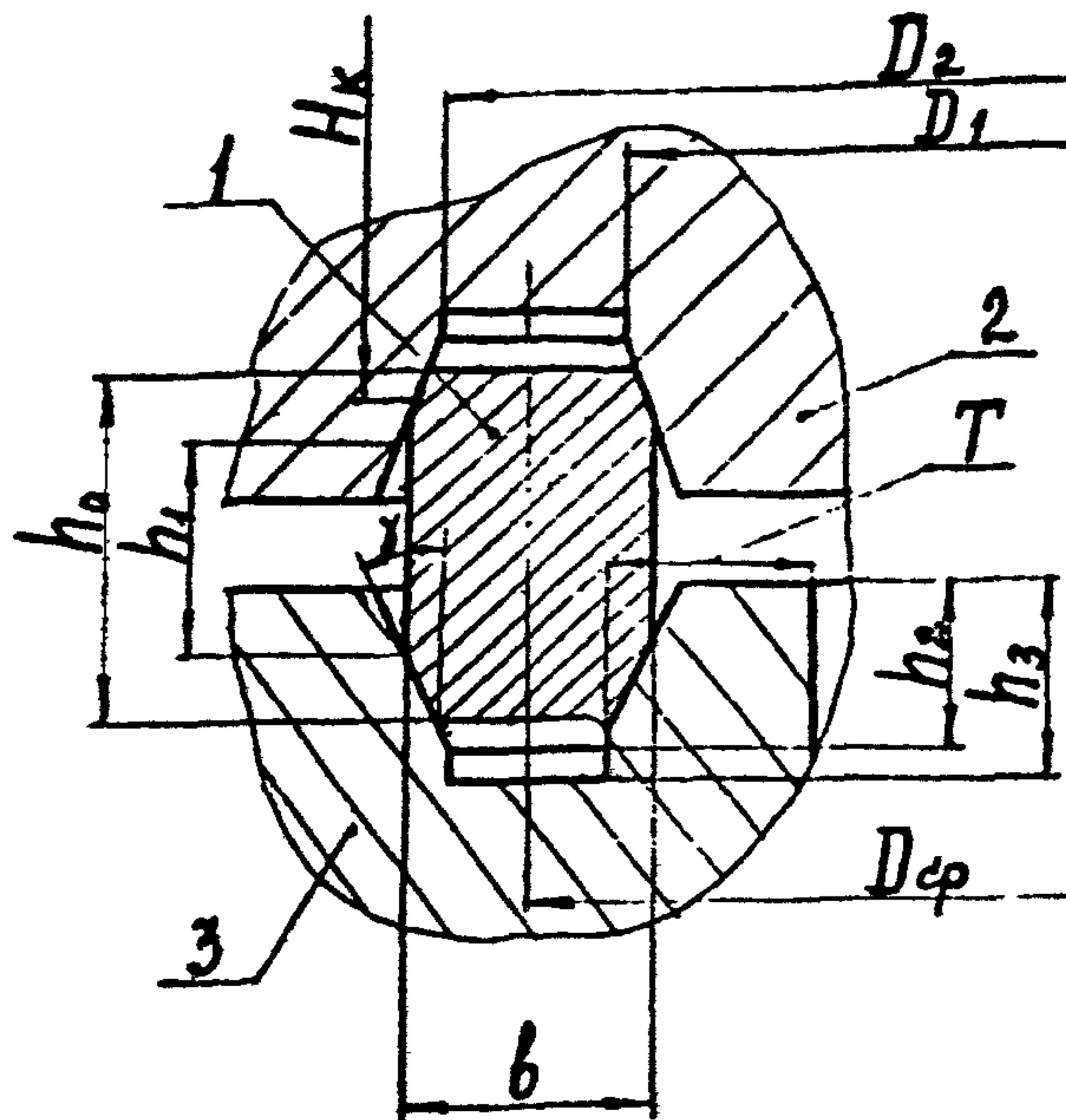
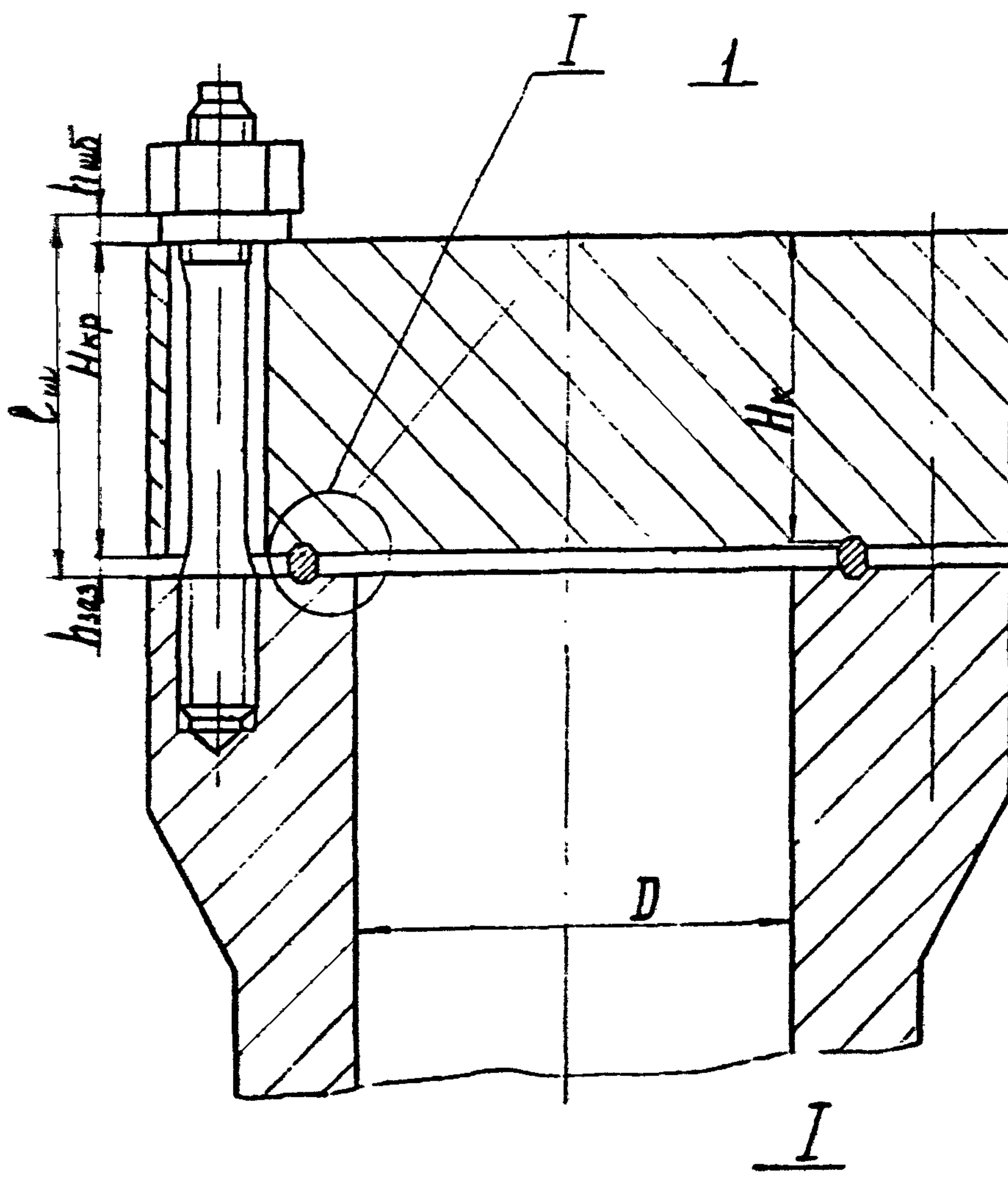
2.3.6. Расчетную ширину уплотнительной поверхности вычисляют по формуле

$$l_p = \frac{h_0 - h_1}{2 \cdot \cos \gamma}. \quad (31)$$

2.3.7. Осевую нагрузку, действующую на шпильки от неравномерности нагрева элементов уплотнения, а также различия величин коэффициентов линейного расширения сопрягаемых деталей

Q_t вычисляют по формуле (6). При этом величину Q_t учитывают в формуле (28) при условии $Q_t > 0$.

Уплотнение с кольцом восьмиугольного сечения



уплотнительное кольцо; 2 - элемент уплотнения крышки;
элемент уплотнения корпуса.

Если величина $Q_t < Q$ то при $|Q_t| \leq 0,1 R_b$ она не учитывается в формуле (28).

В любом случае ($Q_t > Q$ или $Q_t < Q$) при $|Q_t| > 0,1 R_b$ необходимо принять другие сочетания материалов деталей уплотнения или изменить их геометрические размеры и тепловой режим работы уплотнения.

2.3.8. Суммарное осевое температурное перемещение в зоне контакта вычисляют по формуле

$$\delta_{\Sigma} = L_{yk} \cdot t_{yk} \left(\frac{h_o + h_i}{2} + \frac{D_{\phi}}{t_{\phi} \gamma} \right) + L_k t_k \left(H_k - \frac{D_{\phi}}{2 t_{\phi} \gamma} \right) + L_{ab} t_{ab} h_{ab} - \quad (32)$$

$$- L_{\phi} \cdot t_{\phi} \cdot \frac{D_{\phi}}{2 t_{\phi} \gamma} - L_w \cdot t_w \cdot l_w .$$

Значения коэффициентов линейного расширения L_{yk} ,

L_k , L_{ab} , L_w для соответствующих материалов, приведены в приложении 4.

2.3.9. Размер H_k вычисляют по формуле

$$H_k = H_{kp} - \frac{h_o + h_i - 2h_{zaz}}{4} \quad (33)$$

Толщину крышки H_{kp} определяют в соответствии с СТ СЭВ 5206-85. Размеры h_o , h_i определяют согласно ОСТ 26-01-86-88. Величину зазора h_{zaz} и осевые размеры l_w и h_{ab} определяют согласно п. 2.1.9.

2.3.10. Суммарный коэффициент осевой податливости вычисляют по формуле

$$\lambda_{\Sigma} = \lambda_{yk} + \lambda_k + \lambda_{ab} + \lambda_w + \lambda_{\phi} . \quad (34)$$

2.3.11. Коэффициент осевой податливости уплотнительного кольца вычисляют по формуле

$$\lambda_{yk} = \frac{K_1}{\pi \cdot D_{\phi} \cdot E_{yk}^{\epsilon}} \left[\frac{h_i}{b} + 4,25 \cdot \frac{K_4 \cdot \cos \varphi}{\sin \gamma \cdot \sin(\gamma + \varphi)} \right] , \quad (35)$$

где $k_4 = \frac{b}{h_0 - h_1} - \frac{1}{2} \cdot \operatorname{tg} \gamma$. (36)

2.3.12. Коэффициенты осевой податливости крышки λ_k , штилек λ_{ω} и шайб $\lambda_{\omega\delta}$ определяют в соответствии с п.п.2.1.12-2.1.14.

2.3.13. При пробном гидравлическом давлении P_{np} усилие, действующее на штильки Q_{np} вычисляют по формуле (28), при этом в расчетную зависимость (2) подставляют значение P_{np} вместо P , в формулу (29) подставляют значение напряжения смятия $G_{\text{см.нр}}^{20} = 0,8 \cdot G_{\tau, \text{эк}}^{20}$, а величину Q_t принимают равной нулю.

2.3.14. При технологической опрессовке сосуда или аппарата давлением $P_{\text{тех}}$ усилие, действующее на штильки $Q_{\text{тех}}$ вычисляют по формуле (28), при этом в расчетную зависимость (2) подставляют значение $P_{\text{тех}}$ вместо P , в формулу (29) подставляют значение напряжения смятия $G_{\text{см.тех}}^{20} = 0,8 G_{\tau, \text{эк}}^{20}$, а величину Q_t принимают равной нулю.

2.3.15. При выполнении уплотнительного кольца из материала, имеющего предел текучести $G_{\tau}^{20} < 230 \text{ МПа} (2300 \text{ кгс/см}^2)$, определяют геометрические размеры деталей и элементов уплотнительного соединения согласно п.п. 2.3.16-2.3.25.

2.3.16. Средний диаметр уплотнительного соединения вычисляют по формуле

$$D_{\phi} \geq \frac{D}{1 - 0,16 \frac{P}{G_{\tau, \text{тех}}^{20}}} . \quad (37)$$

2.3.17. Ширину перемычки в корпусе сосуда или аппарата вычисляют по формуле

$$T \geq 0,515 \cdot D_{\phi} \frac{P}{G_{\tau, \phi}^{20}} . \quad (38)$$

2.3.18. Полную высоту уплотнительного кольца вычисляют по формуле

$$h_0 = h_1 + 2 \cdot l \cdot \cos \gamma . \quad (39)$$

2.3.19. Высоту цилиндрической части уплотнительного кольца принимают в зависимости от внутреннего диаметра D сосуда (горловины):

$$h_1 = 6 - 8 \text{ мм} - \text{при } 400 \text{ мм} \leq D \leq 800 \text{ мм}$$

$$h_1 = 8 - 10 \text{ мм} - \text{при } 800 \text{ мм} < D \leq 1000 \text{ мм}$$

$$h_1 = 10 - 12 \text{ мм} - \text{при } 1000 \text{ мм} < D \leq 1200 \text{ мм}$$

2.3.20. Ширина уплотнительной поверхности кольца вычисляют по формуле

$$l = 0,155 \cdot D_{cp} \cdot \frac{P}{G_{T, \text{мк}}} . \quad (40)$$

2.3.21. Толщину уплотнительного кольца вычисляют по формуле

$$b = 0,25 \cdot D_{cp} \cdot \frac{P}{G_{T, \text{мк}}} \quad (41)$$

2.3.22. Полную глубину канавки под уплотнительное кольцо вычисляют по формуле

$$h_3 = h_2 + h'_2 , \quad (42)$$

где $h'_2 = 0,005 D$, но не менее 3 мм.

2.3.23. Глубину конической части канавки под уплотнительное кольцо вычисляют по формуле

$$h_2 = \frac{h_0 - h_1}{2} + 0,007 D \quad (43)$$

2.3.24. Внутренний диаметр проточки вычисляют по формуле

$$D_1 = D_{cp} - b + 2 \cdot (h_2 - h'_1) \cdot \operatorname{tg} \gamma . \quad (44)$$

2.3.25. Наружный диаметр проточки вычисляют по формуле

$$D_2 = D_{cp} + b - 2 \cdot (h_2 - h'_1) \cdot \operatorname{tg} \gamma . \quad (45)$$

2.3.26. Усилия в шильках после их затяжки вычисляют по формулам:

перед технологической прессовкой давлением P_{tex}

$$Q_{3tex} = \frac{\pi \cdot D_{cp}^2}{4 \cdot K_1} \left[P_{tex} + 0,5 \cdot \frac{\sin(\gamma + \rho)}{\cos \rho} \cdot P \right], \quad (46)$$

Перед гидроиспытанием пробным давлением P_{pr} и последующей эксплуатацией при расчетном давлении P

$$Q_{3pr} = \frac{\pi \cdot D_{cp}^2}{4 \cdot K_1} \left[P_{pr} + 0,5 \cdot P \cdot \frac{\sin(\gamma + \rho)}{\cos \rho} \right] - Q_t ; \quad (47)$$

перед эксплуатацией при расчетном давлении P (без гидроиспытаний)

$$Q_3 = \frac{\pi \cdot D_{cp}^2}{4 \cdot K_1} \cdot P \left[1 + 0,75 \cdot \frac{\sin(\gamma + \rho)}{\cos \rho} \right] - Q_t . \quad (48)$$

При этом должны соблюдаться следующие условия:

$$Q_{3pr} \leq Q_{pr} ;$$

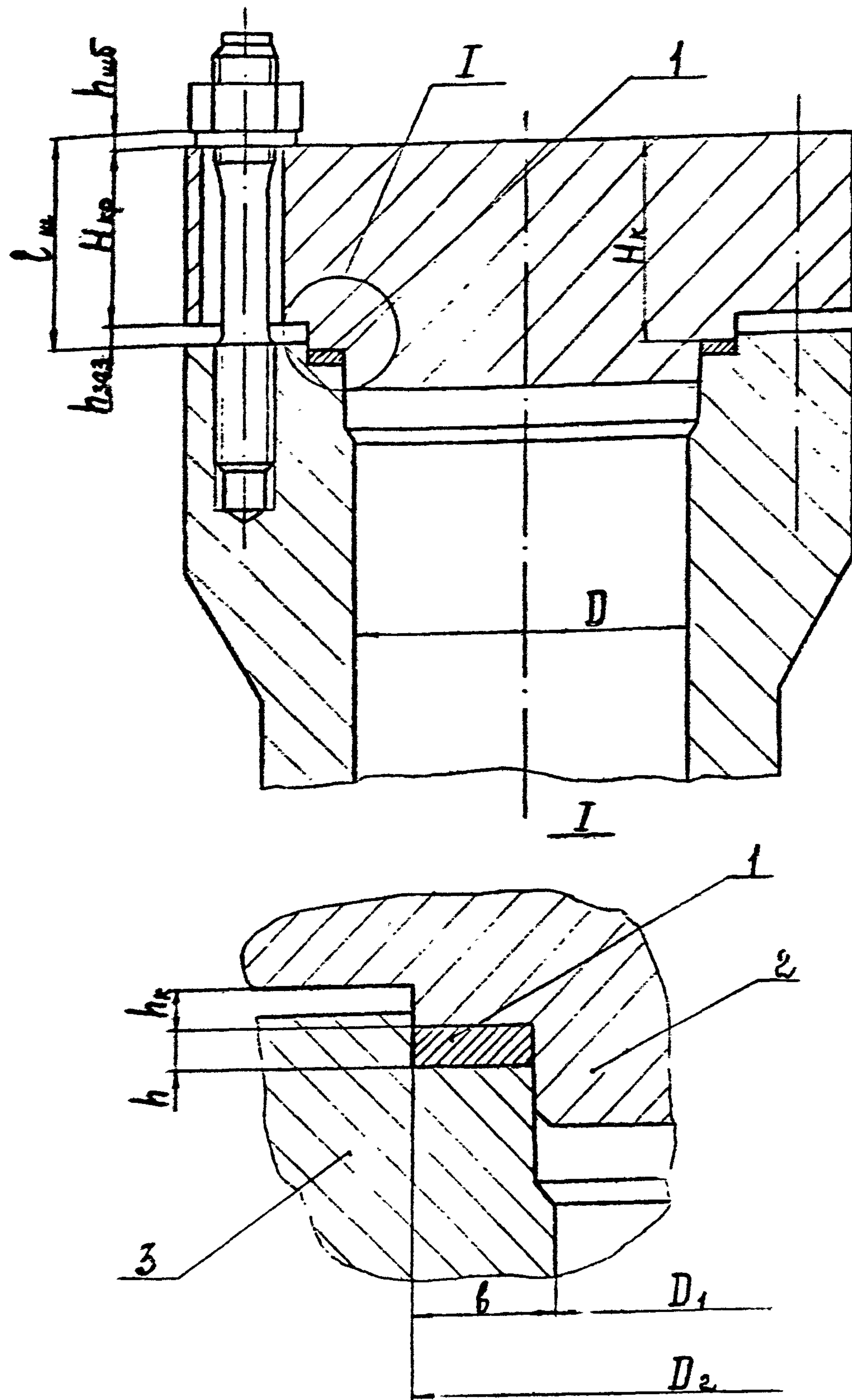
$$Q_3 \leq Q .$$

Если они не соблюдаются, то следует выполнить конструктивные изменения уплотнения или изменить температурный режим его работы.

2.4. Уплотнение с плоской прокладкой

2.4.1. Конструкция уплотнения представлена на черт. 4.

Уплотнение с плоской прокладкой



1 - плоская прокладка; 2 - элемент уплотнения крышки;

3 - элемент уплотнения корпуса.

2.4.2. Расчетное усилие действующее на шпильки, вычисляют по формуле

$$Q = Q_g + R_n + Q_t . \quad (49)$$

2.4.3. Равнодействующую внутреннего давления среды на крышку Q_g вычисляют по формуле (2).

2.4.4. Осевую реакцию прокладки в рабочих условиях вычисляют по формуле

$$R_n = \kappa \cdot D_{\varphi} \cdot \frac{b}{K_1} \cdot G_{cm,n}^{20} \quad (50)$$

2.4.5. Расчетную ширину прокладки принимают большей из двух величин, вычисленных по формулам

$$b_p = \frac{0,25 \cdot P \cdot D_1}{G_{gap}^{20} - G_{cm,n}^{20} - 0,25 \cdot P} ; \quad (51)$$

$$b_p = \frac{0,25 \cdot P_{np} \cdot D_1}{G_{gap}^{20} - G_{cm,np}^{20} - 0,25 \cdot P_{np}} . \quad (52)$$

Исполнительную ширину прокладки b принимают большей или равной расчетной ширине b_p .

Исполнительную ширину прокладки b проверяют по формуле

$$G^t = \frac{Q}{\kappa \cdot D_{\varphi} \cdot b} \quad (53)$$

Должно соблюдаться условие

$$G^t \leq G_{gap}^{20} . \quad (54)$$

Если условие не выполняется, то увеличивают ширину прокладки b и вновь определяют Q по формуле (49) и G^t при новых значениях Q и b . Если условие (54) не выпол-

няется, то проверку повторяют при другом значении b , до выполнения условия (54).

2.4.6. Внутренний диаметр уплотнительной поверхности принимают конструктивно или вычисляют по формуле

$$D_1 = D + 5 . \quad (55)$$

2.4.7. Средний диаметр уплотнительного соединения вычисляют по формуле

$$D_\varphi = D_1 + b \quad (56)$$

2.4.8. Наружный диаметр уплотнительной поверхности вычисляют по формуле

$$D_2 = D_1 + 2b \quad (57)$$

2.4.9. Допускаемые контактные напряжения на уплотнительных поверхностях $\sigma_{\text{ доп}}^t$ и $\sigma_{\text{ доп}}^{20}$ принимают по меньшему из значений предела текучести материалов корпуса или крышки

$$\sigma_{\text{ доп}}^t = 0,35 \sigma_{\text{ т.к.}}^t + 180 \text{ МПа} \quad (\sigma_{\text{ доп}}^{20} = 0,35 \sigma_{\text{ т.к.}}^{20} + 1800 \text{ кгс/см}^2) \quad (58)$$

Вычисление $\sigma_{\text{ доп}}^{20}$ производят по формуле (58) при подстановке $\sigma_{\text{ т.к.}}^{20}$ вместо $\sigma_{\text{ т.к.}}^t$.

$\sigma_{\text{ т.к.}}^{20}$ и $\sigma_{\text{ т.к.}}^t$ принимают по приложению 3.

2.4.10. Герметизирующее напряжение смятия материала прокладки для расчетного давления принимают:

$\sigma_{\text{ смят.}}^{20} = 70 \text{ МПа} (700 \text{ кгс/см}^2)$ - для алюминия;

$\sigma_{\text{ смят.}}^{20} = 100 \text{ МПа} (1000 \text{ кгс/см}^2)$ для меди;

$\sigma_{\text{ смят.}}^{20} = 180 \text{ МПа} (1800 \text{ кгс/см}^2)$ - для стали $\sigma_{\text{ т.к.}}^{20} \leq 230 \text{ МПа} (2300 \text{ кгс/см}^2)$.

2.4.11. Осевую нагрузку, действующую на шпильки от неравномерности нагрева элементов уплотнения, а также различия величин коэффициентов линейного расширения сопрягаемых деталей Q_t

вычисляют по формуле (6). При этом величину Q_t учитывают в формуле (49) при условии $Q_t > C$.

Если величина $Q_t < 0$, то при $|Q_t| \leq 0,1 R_n$ она не учитывается в формуле (49).

В любом случае ($Q_t > 0$ или $Q_t < 0$) при $|Q_t| > 0,1 R_n$ необходимо принять другие сечения материалов деталей уплотнения или изменить их геометрические размеры и тепловой режим работы уплотнения.

2.4.12. Суммарное осевое температурное перемещение в зоне контакта вычисляют по формуле

$$\tilde{\delta}_{\Sigma} = \lambda_n \cdot t_n \cdot h_n + \lambda_k \cdot t_k \cdot H_k + \lambda_{шб} \cdot t_{шб} \cdot h_{шб} - \lambda_{ш} \cdot t_{ш} \cdot \ell_{ш} \quad (59)$$

Величины коэффициентов линейного расширения λ_n , λ_k , $\lambda_{шб}$, $\lambda_{ш}$ для соответствующих материалов приведены в приложении 4.

2.4.13. Размер H_k вычисляют по формуле

$$H_k = H_{kp} + h_k . \quad (60)$$

Толщину крышки H_{kp} определяют в соответствии с СТ СЭВ 5206-85. Размеры h_k и h_n определяют согласно ОСТ 26-01-86-88. Осевые размеры $\ell_{ш}$ и $h_{шб}$ определяют согласно п.2.1.9.

2.4.14. Суммарный коэффициент осевой податливости вычисляют по формуле

$$\lambda_{\Sigma} = \lambda_n + \lambda_k + \lambda_{шб} + \lambda_{ш} . \quad (61)$$

2.4.15. Коэффициент осевой податливости прокладки вычисляют по формуле

$$\lambda_n = \frac{4 \cdot h_n \cdot K_1}{E \cdot \pi \cdot D_p^2} . \quad (62)$$

2.4.16. Коэффициент осевой податливости крышки λ_k , шайб λ_s , шайб λ_{sb} определяют в соответствии с п.п.2.1.12-2.1.14.

2.4.17. При пробном гидравлическом давлении P_{np} усилие, действующее на шпильки Q_{np} вычисляют по формуле (49), при этом в расчетную зависимость (2) подставляют значение

P_{np} вместо P в формулу (50) подставляют значение напряжения смятия $G_{sm,np}^{20} = 0,5 \cdot G_{sm,n}^{20}$, а величину Q_t принимают равной нулю.

2.4.18. При технологической опрессовке сосуда или аппарата давлением P_{tex} усилие, действующее на шпильки Q_{tex} вычисляют по формуле (49), при этом в расчетную зависимость (2) подставляется значение P_{tex} вместо P , в формулу (50) подставляется значение напряжения смятия $G_{sm,tex}^{20} = 0,5 \cdot G_{sm,n}^{20}$ а величину Q_t принимают равной нулю.

2.4.19. Усилие в шпильках после их затяжки $Q_{3,tex}$ перед технологической опрессовкой давлением P_{tex} принимают равным Q_{tex} (п. 2.4.13).

2.4.20. Усилие в шпильках после их затяжки перед гидроиспытанием пробным давлением P_{np} принимают равным Q_{np} (п.2.4.17).

2.4.21. Усилие в шпильках после их затяжки $Q_{3,np}$ перед гидроиспытанием пробным давлением P_{np} с последующей эксплуатацией без демонтажа уплотнения принимают большим из величин Q или Q_{np} , определяемых, соответственно по п.п.2.4.2 и 2.4.17.

2.4.22. Усилие в шпильках после их затяжки Q_3 для условий эксплуатации при рабочем давлении принимают равным расчетному усилию Q (п.2.4.2).

Обязательное

УСЛОВНЫЕ ОБОЗНАЧЕНИЯ

- P - расчетное давление, МПа ($\text{кгс}/\text{см}^2$);
- $P_{пр}$ - пробное гидравлическое давление, МПа ($\text{кгс}/\text{см}^2$);
- $P_{тех}$ - технологическое давление опрессовки, МПа ($\text{кгс}/\text{см}^2$);
- σ_t^{20} - предел текучести материала при температуре 20°C , МПа ($\text{кгс}/\text{см}^2$);
- $\sigma_{ доп}^{20}$ - допускаемые контактные напряжения при температуре 20°C , МПа ($\text{кгс}/\text{см}^2$);
- σ_t^t - предел текучести материала при расчетной температуре, МПа ($\text{кгс}/\text{см}^2$);
- $\sigma_{ доп}^t$ - допускаемые контактные напряжения при расчетной температуре, МПа ($\text{кгс}/\text{см}^2$);
- $\sigma_{ гер }^{20}$ - герметизирующее напряжение смятия прокладки при расчетном давлении, МПа ($\text{кгс}/\text{см}^2$);
- $\sigma_{ гер,пр}^{20}$ - герметизирующее напряжение смятия прокладки при пробном гидравлическом давлении, МПа ($\text{кгс}/\text{см}^2$);
- $\sigma_{ гер }^{20}$ - герметизирующее напряжение смятия прокладки при технологическом давлении опрессовки, МПа ($\text{кгс}/\text{см}^2$);
- E^{20} - модуль продольной упругости материала при температуре 20°C , МПа ($\text{кгс}/\text{см}^2$);
- E^t - модуль продольной упругости материала при расчетной температуре, МПа ($\text{кгс}/\text{см}^2$);
- q_{f_3} - герметизирующее усилие затяжки на единицу длины окружности контакта, МН/м ($\text{кгс}/\text{см}$);
- λ - коэффициент линейного расширения материала элемента уплотнительного соединения при расчетной температуре, 1/град;

- λ - коэффициент осевой податливости элемента уплотнения, мм/МН (мм²/кгс);
- λ_s - суммарный коэффициент осевой податливости элементов уплотнения, мм/МН (мм²/кгс);
- O - расчетное усилие в шпильках при действии расчетного давления, МН (кгс);
- Q_p - расчетное усилие в шпильках при действии пробного гидравлического давления, МН (кгс);
- Q_{tex} - расчетное усилие в шпильках при действии технологического давления опрессовки, МН (кгс);
- Q_s - усилие в шпильках после их затяжки для условий эксплуатации при рабочем давлении, МН (кгс);
- Q_{3pr} - усилие в шпильках после их затяжки перед гидроиспытанием пробного давлением, МН (кгс);
- Q_{3tex} - усилие в шпильках после их затяжки перед опрессовой технологическим давлением, МН (кгс);
- O_f - равнодействующая внутреннего давления среды на крышку, МН (кгс);
- Q_b - осевая составляющая равнодействующей внутреннего давления среды на уплотнительное кольцо, МН (кгс);
- R_b - осевая составляющая реакции уплотнительного кольца, МН (кгс);
- R_n - осевая реакция прокладки в рабочих условиях, МН (кгс);
- Q_t - осевая нагрузка, действующая на шпильки от неравномерности нагрева элементов уплотнения, а также различия величин коэффициентов линейного расширения сопрягаемых деталей, МН (кгс);
- D - внутренний диаметр сосуда или горловины, мм;
- l_u - расчетная длина шпильки, мм;

$H_{\text{кр}}, H_k$ - осевые размеры крышки, мм;

$h_{\text{шб}}$ - высота шайбы, мм;

$h_{\text{заз}}$ - осевой зазор между торцами крышки и фланца, мм;

D_4 - средний диаметр уплотнительного соединения, мм;

D_k - диаметр контакта, мм;

$h_1, h_1', h_2, h_2', h_3, h_3'$ - осевые размеры уплотнительных колец (прокладок) и канавок для них, мм;

ℓ_p - расчетная ширина уплотнительной поверхности, мм;

ℓ - толщина (ширина) уплотнительного кольца (прокладки), мм;

T - ширина перегородки в корпусе сосуда под уплотнительное кольцо восьмугольного сечения, мм;

D_1, D_2, D_3, D_4 - диаметральные размеры уплотнительных колец (прокладок), мм;

δ_0 - радиальный зазор между двухконусным уплотнительным кольцом и упором крышки, мм;

δ - осевое перемещение элемента уплотнительного соединения, мм;

δ_Σ - суммарное осевое температурное перемещение элементов уплотнения в зоне контакта, мм;

t - расчетная температура, $^{\circ}\text{C}$;

γ - угол конусности уплотнительных поверхностей, заключенный между осью вращения детали и образующей уплотнительной поверхности, град;

φ - угол трения на уплотнительных поверхностях, град;

K_1, K_3 - коэффициенты пропорциональности;

K_2 - условная величина внутреннего давления, действующая на уплотнительное кольцо, МПа (kgs/cm^2);

$ук, к, ф, ш, шб, n$ - индексы при величинах относящихся к элементам уплотнительного соединения, соответственно уплотнительное кольцо, крышка, фланец корпуса, шпилька, шайба, прокладка.

ПРИЛОЖЕНИЕ 2

Справочное

Таблица 2

РАСЧЕТНЫЕ ХАРАКТЕРИСТИКИ МАТЕРИАЛОВ УПЛОТНИТЕЛЬНЫХ КОЛЕЦ
ПРИ ПОВЫШЕННЫХ ТЕМПЕРАТУРАХ

Марка стали	Предел текучести, предел прочности МПа σ , σ_0 σ_u $(\text{кгс}/\text{см}^2)$	Температура, $^{\circ}\text{C}$					
		20	100	200	300	400	420
10	σ_t 210(2100)	200(2000)	180(1800)	140(1400)	100(1000)	90(900)	
	σ_s 340(3400)	340(3400)	340(3400)	320(3200)	280(2800)	270(2700)	
20	σ_t 200(2000)	200(2000)	190(1900)	160(1600)	120(1200)	120(1200)	
	σ_s 400(4000)	400(4000)	400(4000)	390(3900)	375(3750)	360(3600)	RД
25	σ_t 280(2800)	270(2700)	250(2500)	220(2200)	180(1800)	170(1700)	
	σ_s 460(4600)	460(4600)	460(4600)	440(4400)	390(3900)	380(3800)	26-01-168
09Г2С	σ_t 300(3000)	285(2850)	260(2600)	210(2100)	190(1900)	180(1800)	
	σ_s 460(4600)	450(4500)	440(4400)	390(3900)	380(3800)	370(3700)	
18Х3МФА	σ_t 450(4500)	435(4350)	400(4000)	380(3800)	350(3500)	335(3350)	Б88
	σ_s 600(6000)	575(5750)	550(5500)	525(5250)	50(5000)	485(4850)	
20Х3МВФ	σ_t 680(6800)	660(6600)	630(6300)	600(6000)	580(5800)	565(5650)	C.
	σ_s 800(8000)	760(7600)	730(7300)	690(6900)	650(6500)	635(6350)	20
22Х3М	σ_t 450(4500)	425(4250)	400(4000)	350(3500)	300(3000)	285(2850)	
	σ_s 600(6000)	580(5800)	555(5550)	500(5000)	450(4500)	440(4400)	
30ХМА	σ_t 400(4000)	380(3800)	370(3700)	340(3400)	330(3300)	320(3200)	
	σ_s 600(6000)	580(5800)	550(5500)	520(5200)	490(4900)	480(4800)	

Продолжение табл. 2

Марка стали	Предел текучести, предел прочности МПа (кгс/см ²)	Температура, °C					
		20	100	200	300	400	420
20Х2МА	σ_y	400(4000)	385(3850)	360(3600)	345(3450)	330(3300)	320(3200)
	σ_b	550(5500)	535(5350)	510(5100)	495(4950)	480(4800)	470(4700)
08Х13	σ_y	380(3800)	380(3800)	340(3400)	330(3300)	300(3000)	295(2950)
	σ_b	570(5700)	550(5500)	510(5100)	500(5000)	460(4600)	440(4400)
12Х13	σ_y	380(3800)	380(3800)	340(3400)	330(3300)	320(3200)	315(3150)
	σ_b	600(6000)	600(6000)	550(5500)	550(5500)	520(5200)	510(5100)
20Х13	σ_y	480(4800)	460(4600)	420(4200)	370(3700)	370(3700)	360(3600)
	σ_b	640(6400)	600(6000)	540(5400)	500(5000)	470(4700)	460(4600)
30Х13	σ_y	570(5700)	550(5500)	530(5300)	510(5100)	450(4500)	440(4400)
	σ_b	710(7100)	680(6800)	670(6700)	640(6400)	580(5800)	570(5700)
15ХМ	σ_y	280(2800)	240(2400)	240(2400)	220(2200)	200(2000)	195(1950)
	σ_b	450(4500)	440(4400)	430(4300)	420(4200)	380(3800)	365(3650)
12Х18Н10Т	σ_y	200(2000)	195(1950)	175(1750)	150(1500)	130(1300)	130(1300)
	σ_b	500(5000)	440(4400)	400(4000)	400(4000)	380(3800)	380(3800)
10Х17Н13М2Т	σ_y	200(2000)	195(1950)	175(1750)	150(1500)	130(1300)	130(1300)
	σ_b	500(5000)	440(4400)	400(4000)	400(4000)	380(3800)	380(3800)
08Х18Н10Т	σ_y	200(2000)	195(1950)	175(1750)	150(1500)	130(1300)	130(1300)
	σ_b	500(5000)	440(4400)	400(4000)	400(4000)	380(3800)	380(3800)

РД 26-01-168-88
С.31

ПРИЛОЖЕНИЕ 3

Справочное

РАСЧЕТНЫЕ ХАРАКТЕРИСТИКИ МАТЕРИАЛОВ КРЫШКИ И
ФЛАНЦА КОРПУСА ПРИ ПОВЫШЕННЫХ ТЕМПЕРАТУРАХ

Таблица 3

Марка стали	Пре-дел проч-нос-ти, пре-дел теку-чес-ти МПа (kg/cm ²)	Температура, °C				
		20	100	200	300	400
20	σ_t	170(1700)	170(1700)	160(1600)	140(1400)	110(1100)
	σ_b	340(3400)	340(3400)	320(3200)	300(3000)	280(2800)
22K	σ_t	220(2200)	220(2200)	200(2000)	190(1900)	170(1700)
	σ_b	440(4400)	440(4400)	400(4000)	380(3800)	370(3700)
09Г2С	σ_t	300(3000)	285(2850)	260(2600)	210(2100)	190(1900)
	σ_b	460(4600)	450(4500)	440(4400)	390(3900)	380(3800)
20Х2МА	σ_t	400(4000)	385(3850)	355(3550)	310(3100)	265(2650)
	σ_b	550(5500)	530(5300)	510(5100)	460(4600)	410(4100)
δ до 550мм	σ_t	450(4500)	425(4250)	400(4000)	350(3500)	300(3000)
	σ_b	600(6000)	580(5800)	550(5500)	500(5000)	450(4500)
δ -55I- -700мм	σ_t	400(4000)	380(3800)	350(3500)	300(3000)	250(2500)
	σ_b	550(5500)	535(5350)	500(5000)	450(4500)	400(4000)
I5Х2МФА	σ_t	440(4400)	430(4300)	420(4200)	405(4050)	375(3750)
25Х2МФА	σ_b	550(5500)	550(5500)	530(5300)	510(5100)	480(4800)
25Х3МФА	σ_t	540(5400)	530(5300)	520(5200)	505(5050)	460(4600)
25Х2МФА	σ_b	650(6500)	630(6300)	600(6000)	570(5700)	530(5300)
25Х3МФА						

ПРИЛОЖЕНИЕ 4

Справочное

СРЕДНИЕ КОЭФФИЦИЕНТЫ ЛИНЕЙНОГО РАСШИРЕНИЯ

 $\alpha \cdot 10^6$ 1/град

Таблица 4

Группы сталей	Интервал температур, °C							
	29-50	20-100	20-150	20-200	20-250	20-300	20-350	20-400
Углеродистые и низко-легированные стали: ст 10, 20, 25, 09Г2С, 15ХМ, 30ХМ, 20Х2МА, 20Х3МВФ, 22Х3М, 18Х3МФА	11,5	11,9	12,2	12,5	12,8	13,1	13,4	13,6
Хромистые нержавеющие стали: 08Х13, 12Х13, 20Х13, 30Х13	10,0	10,3	10,6	10,8	11,0	11,2	11,4	11,6
Хромоникелиевые аустенитные стали 12Х18Н10Т, 10Х17Н13М2Т	16,4	16,6	16,8	17,0	17,2	17,4	17,6	17,8

ПРИЛОЖЕНИЕ 5
Справочное
Таблица 5

МОДУЛЬ УПРУГОСТИ МАТЕРИАЛОВ ПРИ ПОВЫШЕННЫХ ТЕМПЕРАТУРАХ $E \cdot 10^{-4}$ МПа ($E \cdot 10^{-5}$ кгс/см²)

Группы сталей	Температура, °C				
	20	100	200	300	400
Углеродистая сталь С ≤ 0,25% ст. 10, 20, 25	20,0	19,5	19,0	18,0	17,0
Низколегированная сталь С < 0,25% 09Г2С, 15ХМ, 20Х2МА	21,0	20,5	20,0	19,5	18,5
Низколегированная сталь С > 0,25%. 30ХМА, 22Х3М, 18Х3МФА, 20Х3МВФ	21,5	21,0	20,5	20,0	19,0
Высокохромистая сталь 08Х13, 12Х13, 20Х13, 30Х13	22,0	21,5	21,0	20,0	19,0
Хромоникелевые аустенитные стали 12Х18Н10Т, 10Х17Н13М2Т	20,5	20,0	19,0	18,0	17,0

РД 26-01-168-88

с.34

ИНФОРМАЦИОННЫЕ ДАННЫЕ

1. УТВЕРЖДЕН Министерство химического и нефтяного машиностроения, УкрНИИхиммаш
2. ИСПОЛНИТЕЛИ Древин А.К., канд.техн.наук (руководитель темы), Вирюгин Э.А., Погорин В.К., канд. техн.наук, Золотухин Г.Г.
3. Срок первой проверки 1991 г;
периодичность проверки 5 лет.
4. Использовано изобретение - авторское свидетельство № 479930
5. Взамен ОСТ 26-01-87-78
6. ССЫЛОЧНЫЕ НОРМАТИВНО-ТЕХНИЧЕСКИЕ ДОКУМЕНТЫ

<u>Обозначение НТД, на который дана ссылка</u>	<u>Номер пункта, подпункта, перечисления, приложения</u>
1. ГОСТ 11879-81	1.4
2. ГОСТ 14249-80	1.4
3. ГОСТ 26303-84	2.1.9, 2.1.13,
4. СТ СЭВ 5206-85	2.1.9, 2.2.7, 2.3.9, 2.4.13
5. ОСТ 26-01-9-80	лист I
6. ОСТ 26-01-86-88	лист I, 1.5, 2.1.9, 2.1.17, 2.2.7, 2.3.9, 2.4.13
7. ОСТ 26-01-138-81 - - ОСТ 26-01-144-81	2.1.9, 2.1.13, 2.1.14,
8. ОСТ 26-01-221-86	лист I, 1.4
9. ОСТ 26-1046-87	лист I .

ЛИСТ РЕГИСТРАЦИИ ИЗМЕНЕНИЙ РД 26-01-168 -88

Номер изменения	Номер листа (страницы) изме-ненно-го	Номер заме-ненно-го	Нового анули-рован-ного	Номер документа	Подпись	Дата внесе-ния изм.	Дата введения изм.